



БИООРГАНИЧЕСКАЯ ХИМИЯ

mom 1 * № 2 * 1975

YIIK 542.91+547.833.1

ХИМИЯ АЛЬБОФУНГИНА

VIII. СИНТЕЗ АНАЛОГОВ, МОДЕЛИРУЮЩИХ КОЛЬЦА А И В АЛЬБОФУНГИНА

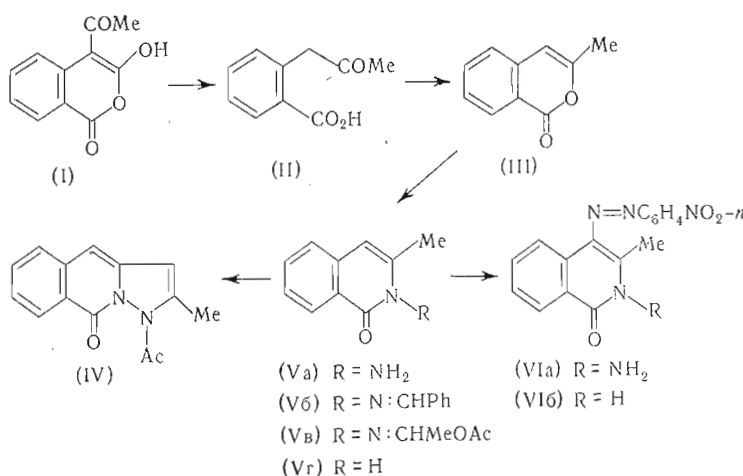
*Гуревич А. И., Колесов М. Н., Омельченко В. Н.,
Оноприенко В. В., Петренко Г. И.*

Институт биоорганической химии им. М. М. Шемякина
Академии наук СССР. Москва

Осуществлен синтез двух аналогов альбофугина (Va) и (Xб), моделирующих его кольца A и B; изучение химических и спектральных свойств этих соединений подтвердило выводы о строении этой части молекулы и всего хромофора кольц A-B антибиотика.

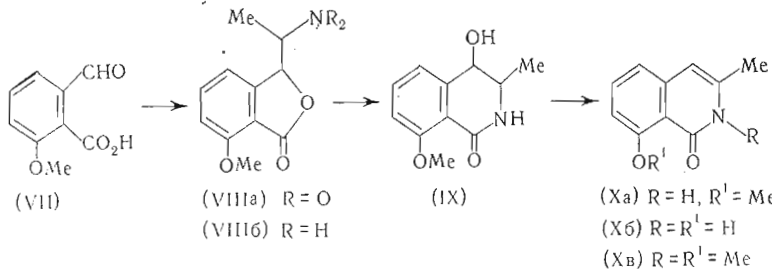
В предыдущей статье [1] нами были описаны реакции, протекающие с участием группировок кольца *A* альбофунгина. С целью подтвердить строение этой части молекулы и всего хромофора колец *AB* антибиотика мы синтезировали 2-амино- и 8-оксизихинолоны (*V_a*) и (*X_b*) и исследовали химические и спектральные свойства этих соединений и их производных.

Исходным веществом для синтеза 2-амино-3-метилизохинолона (V_a) послужила гомофталевая кислота, которая действием уксусного ангидрида в пиридине была превращена в ацетилгомофталевый ангидрид (I), гидролизованный затем до *o*-карбоксифенилацетона (II). Последний был дегидратирован уксусным ангидридом в присутствии серной кислоты и образовавшийся метилизокумарин (III) (ср. [2]) путем гидразинолиза превращен в N-аминоизохинолон (V_a).



Оказалось, что подобно альбофунгину и альбофунголу [1], аминоизохинолон (Va) легко реагирует с бензальдегидом в присутствии кислот, образуя шиффово основание (Vb), а при ацетилировании уксусным ангидридом в пиридине дает диацетильное производное, которое имеет строение имиполацтата (Vc) (судя по спектру ЯМР) и при нагревании с уксусным ангидридом претерпевает циклодегидратацию в производное пиразолоизохинолона (IV). При восстановлении цинком в уксусной кислоте аминоизохинолон (Va) дезаминируется в N-незамещенный изохинолон (Vg), который получается также (с одновременным образованием бензонитрила) при нагревании шиффова основания (Vb) со спиртовым раствором этилата натрия. Кроме того, элиминирование аминогруппы происходит при взаимодействии аминоизохинолона (Va) с *n*-нитробензольдиазонием, который при этом превращается в *n*-нитрофенилазид. В этом случае наряду с дезаминированием протекает реакция азосочетания в положение 4 и образуются соединения (VIa) и (VIb). Таким образом, и в альбофунтине, и в его простейшем аналоге (Va) N-аминопиридановое кольцо обладает практически одинаковой способностью.

Синтез второго аналога альбофунгина — оксиизохинолона (Xb), моделирующего хромофорную систему колец *AB* антибиотика, был осуществлен исходя из метоксимальдегидофталевой кислоты (VII). При ее конденсации с нитроэтаном был получен нитроэтилфталид (VIIIa), восстановление которого в аминопроизводное (VIIIb) с последующей изомеризацией в оксилактам (IX) и дегидратацией в изохинолон (Xa) были проведены по методам, разработанным ранее для синтеза 8-незамещенного изохинолона (Vg) [3]. Деметилирование 8-метоксисоединения (Xa) нагреванием с HBr в уксусной кислоте привело к 8-оксиизохинолону (Xb), а метилирование действием MeI+EtONa — к N-метильному производному (Xb).



Химические сдвиги протонов 4-Н, 3-Ме, 6-Н, 8-ОН, а также N-Ме и О-Ме в спектрах ЯМР модельных соединений (X) оказались очень близкими к наблюдавшимся для соответствующих протонов альбофунгина, альбофунгола и их производных, что явилось одним из доказательств структуры колец *A* и *B* антибиотика. С другой стороны, было выяснено, что соединения (X) обладают менее интенсивным и менее длинноволновым УФ поглощением, чем производные альбофунгина, и, следовательно, в антибиотике система колец *AB* сопряжена с дополнительным хромофором.

Экспериментальная часть

Общие сведения об эксперименте см. в сообщении V [4]. ТСХ во всех случаях проводили на силикателе; для обозначения растворителей в хроматографических системах принятые следующие сокращения: А — ацетон, Б — бензол, В — вода, Д — диоксан, М — метанол, ПЭ — петролейный эфир, УК — уксусная кислота, Х — хлороформ, Э — эфир, ЭА — этилацетат.

1. *Ангидрид ацетилгомофтальевой кислоты (I)*. 500 мг гомофтальевой кислоты при 20° растворяли в 10 мл Ac₂O и 5 мл пиридина, через 1,5 ч упаривали и хроматографировали в системе ЭА—Б (1:4). Из зоны с *R*_f 0,8—

0,9 выделяли 537 мг (77%) ангидрида (I), т. пл. 140—141° (из спирта), УФ: $\lambda_{\text{макс}}$ 231п, 246п, 268п, 278, 337 нм ($\lg \epsilon$ 4,48; 4,31; 4,16; 4,22; 3,69); ИК: $\nu_{\text{макс}}$ 3450, 1750, 1725, 1690, 1660, 1600 см⁻¹; ЯМР: δ 2,66 (3Н, с); 6,88 (1Н, с); 7,1—7,7 (3Н, м); 8,26 (1Н, д, J 8).

Найдено, %: С 64,7; Н 4,2. M 204. $C_{11}H_8O_4$. Вычислено, %: С 64,7; Н 4,0. M 204.

2. *o*-Карбонифенилацетон (II). 500 мг ацетилгомофталевого ангидрида (I) и 8 мл 2 н. NaOH нагревали 1 ч при 100°, после охлаждения подкисляли до pH 1, извлекали эфиром и после обычной обработки хроматографировали в системе ЭА—Б (1:4). Из зоны с R_f 0,3—0,4 выделяли 280 мг (64%) кетокислоты (II), т. пл. 114—115° (из спирта); УФ: $\lambda_{\text{макс}}$ 226, 247п, 273п, 298п нм ($\lg \epsilon$ 4,43; 4,06; 3,79; 3,51); ИК: $\nu_{\text{макс}}$ 2700, 2655, 2550, 1700, 1600 см⁻¹; ЯМР: δ 2,17 (3Н, с); 3,96 (2Н, с); 6,8—7,5 (4Н, м).

Найдено M 178. $C_{10}H_{16}O_3$. Вычислено M 178.

3. 3-Метилизокумарин (III). 300 мг кетокислоты (II) растворяли в 4 мл Ac_2O , содержащего 0,2%-ную H_2SO_4 , оставляли на 4 ч при 20° и после обычной обработки хроматографировали в бензоле. Из зоны с R_f 0,3—0,35 выделяли 200 мг (74%) изокумарина (III) (ср. [5]); УФ: $\lambda_{\text{макс}}$ 241, 253п, 257п, 261п, 266п, 273, 285п, 300 нм ($\lg \epsilon$ 4,19; 3,79; 3,84; 3,86; 3,87; 3,88; 3,64; 3,77); ИК: $\nu_{\text{макс}}$ 1728, 1660, 1640, 1615 см⁻¹.

Найдено M 160. $C_{10}H_8O_2$. Вычислено M 160.

4. 2-Амино-3-метил-1(2Н)-изохинолон (Va). Раствор 160 мг изокумарина (III) и 200 мг гидразингидрата в 3 мл спирта нагревали 3 ч в защищенной ампуле при 100°, упаривали, и остаток хроматографировали в системе ЭА—Б (1:4). Из зоны с R_f 0,55—0,65 выделяли 120 мг (68%) аминоизохинолона (Va), т. пл. 149—150° (из спирта); УФ: $\lambda_{\text{макс}}$ 245п, 292, 317п, 332, 363 нм ($\lg \epsilon$ 4,04; 3,96; 3,71; 3,75; 3,50); ИК: $\nu_{\text{макс}}$ 3300, 3200, 1625, 1600 см⁻¹; ЯМР: δ 2,48 (3Н, с); 5,03 (2Н, с); 6,32 (1Н, с); 7,0—7,7 (3Н, м); 8,34 (1Н, д, J 8).

Найдено, %: С 69,0; Н 5,8; N 15,3. M 174. $C_{10}H_{10}N_2O$. Вычислено, %: С 69,0; Н 5,7; N 16,1. M 174.

N-бензилиденовое производное (Vb): т. пл. 146—147° (из спирта); УФ: $\lambda_{\text{макс}}$ 244п, 253, 263п, 292п, 363 пм ($\lg \epsilon$ 4,37; 4,42; 4,36; 4,14; 3,67); ИК: $\nu_{\text{макс}}$ 1660, 1630, 1600 см⁻¹; ЯМР: δ 2,45 (3Н, с); 6,38 (1Н, с); 7,4—7,7 (6Н, м); 7,89 (2Н, м); 8,40 (1Н, д, J 8); 9,21 (1Н, с).

Найдено, %: С 77,7; Н 5,4; N 10,7. M 262. $C_{17}H_{14}N_2O$. Вычислено, %: С 77,8; Н 5,4; N 10,7. M 262.

Диацетильное производное (Vb): т. пл. 61—62° (из спирта); УФ: $\lambda_{\text{макс}}$ 232, 248п, 260, 268, 275, 284, 331 нм ($\lg \epsilon$ 4,39; 3,92; 3,79; 3,89; 4,00; 3,98; 3,64); ИК: $\nu_{\text{макс}}$ 1740п, 1730, 1710 см⁻¹; ЯМР: δ 2,22 (3Н, с); 2,41 (6Н, с); 6,42 (1Н, с); 7,0—7,6 (3Н, м); 8,36 (1Н, д, J 8).

Найдено M 258. $C_{14}H_{11}N_2O_3$. Вычислено M 258.

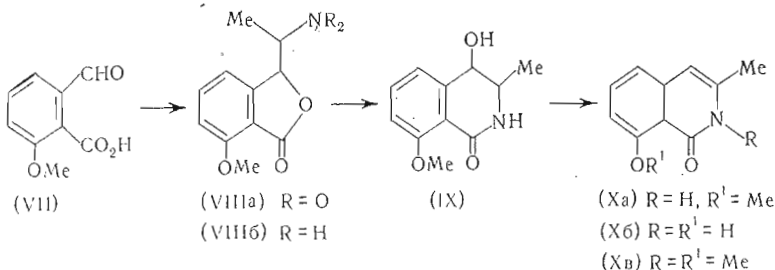
5. 3-Метил-1(2Н)-изохинолон (Vc). а) К раствору 30 мг аминоизохинолона (Va) в 10 мл AcOH при 20° прибавляли в течение 14 ч 2 г Zn-пыли и перемешивали до исчезновения исходного вещества (по ТСХ). После обычной обработки и хроматографии в системе ЭА—Б (1:4), из зоны с R_f 0,2—0,3 выделяли 20 мг (73%) изохинолона (Vc), т. пл. 210—211° (из спирта) (ср. [3]).

б) К раствору 140 мг бензилиденаминоизохинолона (Vb) в 20 мл abs. спирта прибавляли в атмосфере аргона 10 мл 0,9 M EtONa, нагревали 1 ч при кипении,нейтрализовали AcOH, упаривали и хроматографировали в системе ЭА—Б (1:4). Из зоны с R_f 0,2—0,3 получали 63 мг (73%) изохинолона (Vc), т. пл. 210—211° (из спирта), а из зоны с R_f 0,7—0,8 выделяли 50 мг (92%) бензонитрила, идентичного заведомому образцу по данным ТСХ и ГЖХ.

6. Взаимодействие 2-амино-3-метил-1(2Н)-изохинолона (Va) с n-нитробензодиазонием. К 100 мг аминоизохинолона (Va) в 5 мл AcOH при 20° прибавляли 7,7 мл 0,15 M уксуснокислого раствора n-нитробензодиазония,

Оказалось, что подобно альбофунгину и альбофунголу [1], аминоизохинолон (Va) легко реагирует с бензальдегидом в присутствии кислот, образуя шиффово основание (Vb), а при ацетилировании уксусным ангидрилом в пиридине дает диацетильное производное, которое имеет строение иминолацетата (Vb) (судя по спектру ЯМР) и при нагревании с уксусным ангидрилом претерпевает циклодегидратацию в производное пиразолоизохинолона (IV). При восстановлении цинком в уксусной кислоте аминоизохинолон (Va) дезаминируется в N-незамещенный изохинолон (Vg), который получается также (с одновременным образованием бензонитрила) при нагревании шиффова основания (Vb) со спиртовым раствором этилата натрия. Кроме того, элиминирование аминогруппы происходит при взаимодействии аминоизохинолона (Va) с *n*-нитробензольдиазонием, который при этом превращается в *n*-нитрофенилазид. В этом случае наряду с дезаминированием протекает реакция азосочетания в положение 4 и образуются соединения (VIa) и (VIb). Таким образом, и в альбофунгине, и в его простейшем аналоге (Va) N-аминопиридиновое кольцо обладает практически одинаковой реакционной способностью.

Синтез второго аналога альбофунгина — оксиизохинолона (Xb), моделирующего хромофорную систему колец *AB* антибиотика, был осуществлен исходя из метоксиальдегидофталевой кислоты (VII). При ее конденсации с нитроэтаном был получен нитроэтилфталид (VIIa), восстановление которого в аминопроизводное (VIIb) с последующей изомеризацией в оксилактам (IX) и дегидратацией в изохинолон (Xa) были проведены по методам, разработанным ранее для синтеза 8-незамещенного изохинолона (Vg) [3]. Деметилирование 8-метоксиоединения (Xa) нагреванием с HBr в уксусной кислоте привело к 8-оксиизохинолону (Xb), а метилирование действием MeI+EtONa — к N-метильному производному (Xb).



Химические сдвиги протонов 4-Н, 3-Ме, 6-Н, 8-ОН, а также N-Ме и О-Ме в спектрах ЯМР модельных соединений (X) оказались очень близкими к наблюдавшимся для соответствующих протонов альбофунгина, альбофунгола и их производных, что явилось одним из доказательств структуры колец *A* и *B* антибиотика. С другой стороны, было выяснено, что соединения (X) обладают менее интенсивным и менее длинноволновым УФ поглощением, чем производные альбофунгина, и, следовательно, в антибиотике система колец *AB* сопряжена с дополнительным хромофором.

Экспериментальная часть

Общие сведения об эксперименте см. в сообщении V [4]. ТСХ во всех случаях проводили на силикагеле; для обозначения растворителей в хроматографических системах приняты следующие сокращения: А — ацетон, Б — бензол, В — вода, Д — диоксан, М — метанол, ПЭ — петролейный эфир, УК — уксусная кислота, Х — хлороформ, Э — эфир, ЭА — этилацетат.

1. Ангирид ацетилгомофтальевой кислоты (I). 500 мг гомофтальевой кислоты при 20° растворяли в 10 мл Ac₂O и 5 мл пиридина, через 1,5 ч упаривали и хроматографировали в системе ЭА—Б (1:4). Из зоны с *R*_f 0,8—

0,9 выделяли 537 мг (77%) ангидрида (I), т. пл. 140—141° (из спирта), УФ: $\lambda_{\text{макс}}$ 231 π , 246 π , 268 π , 278, 337 нм ($\lg \epsilon$ 4,48; 4,31; 4,16; 4,22; 3,69); ИК: $\nu_{\text{макс}}$ 3450, 1750, 1725, 1690, 1660, 1600 см $^{-1}$; ЯМР: δ 2,66 (3H, с); 6,88 (1H, с); 7,1—7,7 (3H, м); 8,26 (1H, д, *J* 8).

Найдено, %: С 64,7; Н 4,2. M 204. $C_{11}H_{8}O_4$. Вычислено, %: С 64,7; Н 4,0. M 204.

2. *o*-Карбоксифенилацетон (II). 500 мг ацетилгомофталевого ангидрида (I) и 8 мл 2 н. NaOH нагревали 1 ч при 100°, после охлаждения подкисляли до pH 1, извлекали эфирем и после обычной обработки хроматографировали в системе ЭА—Б (1 : 4). Из зоны с R_f 0,3—0,4 выделяли 280 мг (64%) кетокислоты (II), т. пл. 114—115° (из спирта); УФ: $\lambda_{\text{макс}}$ 226, 247 π , 278 π , 298 π нм ($\lg \epsilon$ 4,43; 4,06; 3,79; 3,51); ИК: $\nu_{\text{макс}}$ 2700, 2655, 2550, 1700, 1600 см $^{-1}$; ЯМР: δ 2,17 (3H, с); 3,96 (2H, с); 6,8—7,5 (4H, м).

Найдено M 178. $C_{10}H_{10}O_3$. Вычислено M 178.

3. 3-Метилизокумарин (III). 300 мг кетокислоты (II) растворяли в 4 мл Ac_2O , содержащего 0,2%-ную H_2SO_4 , оставляли на 4 ч при 20° и после обычной обработки хроматографировали в бензоле. Из зоны с R_f 0,3—0,35 выделяли 200 мг (74%) изокумарина (III) (ср. [5]); УФ: $\lambda_{\text{макс}}$ 241, 253 π , 257 π , 261 π , 266 π , 273, 285 π , 300 нм ($\lg \epsilon$ 4,19; 3,79; 3,84; 3,86; 3,87; 3,88; 3,64; 3,77); ИК: $\nu_{\text{макс}}$ 1728, 1660, 1640, 1615 см $^{-1}$.

Найдено M 160. $C_{10}H_{8}O_2$. Вычислено M 160.

4. 2-Амино-3-метил-1(2H)-изохинолон (Va). Раствор 160 мг изокумарина (III) и 200 мг гидразингидрата в 3 мл спирта нагревали 3 ч в запаянной ампуле при 100°, упаривали, и остаток хроматографировали в системе ЭА—Б (1 : 4). Из зоны с R_f 0,55—0,65 выделяли 120 мг (68%) аминоизохинолона (Va), т. пл. 149—150° (из спирта); УФ: $\lambda_{\text{макс}}$ 245 π , 292, 317 π , 332, 363 нм ($\lg \epsilon$ 4,04; 3,96; 3,71; 3,75; 3,50); ИК: $\nu_{\text{макс}}$ 3300, 3200, 1625, 1600 см $^{-1}$; ЯМР: δ 2,48 (3H, с); 5,03 (2H, с); 6,32 (1H, с); 7,0—7,7 (3H, м); 8,34 (1H, д, *J* 8).

Найдено, %: С 69,0; Н 5,8; N 15,3. M 174. $C_{10}H_{10}N_2O$. Вычислено, %: С 69,0; Н 5,7; N 16,1. M 174.

N-бензилиденовое производное (Vb): т. пл. 146—147° (из спирта); УФ: $\lambda_{\text{макс}}$ 244 π , 253, 263 π , 292 π , 363 нм ($\lg \epsilon$ 4,37; 4,42; 4,36; 4,14; 3,67); ИК: $\nu_{\text{макс}}$ 1660, 1630, 1600 см $^{-1}$; ЯМР: δ 2,45 (3H, с); 6,38 (1H, с); 7,4—7,7 (6H, м); 7,89 (2H, м); 8,40 (1H, д, *J* 8); 9,21 (1H, с).

Найдено, %: С 77,7; Н 5,4; N 10,7. M 262. $C_{17}H_{14}N_2O$. Вычислено, %: С 77,8; Н 5,4; N 10,7. M 262.

Диацетильное производное (Vb): т. пл. 61—62° (из спирта); УФ: $\lambda_{\text{макс}}$ 232, 248 π , 260, 268, 275, 284, 331 нм ($\lg \epsilon$ 4,39; 3,92; 3,79; 3,89; 4,00; 3,98; 3,64); ИК: $\nu_{\text{макс}}$ 1740 π , 1730, 1710 см $^{-1}$; ЯМР: δ 2,22 (3H, с); 2,41 (6H, с); 6,42 (1H, с); 7,0—7,6 (3H, м); 8,36 (1H, д, *J* 8).

Найдено M 258. $C_{14}H_{14}N_2O_3$. Вычислено M 258.

5. 3-Метил-1(2H)-изохинолон (Vc). а) К раствору 30 мг аминоизохинолона (Va) в 10 мл $AcOH$ при 20° прибавляли в течение 14 ч 2 г Zn-пыли и перемешивали до исчезновения исходного вещества (по ТСХ). После обычной обработки и хроматографии в системе ЭА—Б (1 : 4), из зоны с R_f 0,2—0,3 выделяли 20 мг (73%) изохинолона (Vc), т. пл. 210—211° (из спирта) (ср. [3]).

б) К раствору 140 мг бензилиденаминоизохинолона (Vb) в 20 мл abs. спирта прибавляли в атмосфере аргона 10 мл 0,9 М $EtONa$, нагревали 1 ч при кипении, нейтрализовали $AcOH$, упаривали и хроматографировали в системе ЭА—Б (1 : 4). Из зоны с R_f 0,2—0,3 получали 63 мг (73%) изохинолона (Vc), т. пл. 210—211° (из спирта), а из зоны с R_f 0,7—0,8 выделяли 50 мг (92%) бензонитрила, идентичного заведомому образцу по данным ТСХ и ГЖХ.

6. Взаимодействие 2-амино-3-метил-1(2H)-изохинолона (Va) с *n*-нитробензольдиазонием. К 100 мг аминоизохинолона (Va) в 5 мл $AcOH$ при 20° прибавляли 7,7 мл 0,15 М уксусноислого раствора *n*-нитробензольдиазопия,

перемешивали 15 мин, разбавляли водой, экстрагировали хлороформом и после обычной обработки хроматографировали в системе ЭА—Б (1:4). Из зоны с R_f 0,9—0,95 выделяли 29 мг (31%) *n*-нитрофенилазида, т. пл. 76°; из зоны с R_f 0,75—0,85 получали 11 мг (6%) 4-(*n*-нитрофенилазо)-2-амино-3-метилизохинолона (VIa), т. пл. 209—210° (из спирта); УФ: $\lambda_{\text{макс}}$ 220п, 237п, 279, 410 нм ($\lg \epsilon$ 4,30; 4,15; 4,06; 4,19); ИК: $\nu_{\text{макс}}$ 3220, 3090, 1670, 1640, 1600, 1520 см⁻¹.

Найдено M 323. $C_{16}H_{13}N_5O_3$. Вычислено M 323.

Из зоны с R_f 0,4—0,5 выделяли 24 мг (14%) 4-(*n*-нитрофенилазо)-3-метил-1(2Н)-изохинолона (VIb); УФ: $\lambda_{\text{макс}}$ 220п, 237п, 294, 402 нм ($\lg \epsilon$ 4,24; 4,08; 3,94; 4,14); ИК: $\nu_{\text{макс}}$ 1670, 1620, 1600 см⁻¹.

Найдено M 308. $C_{16}H_{12}N_4O_3$. Вычислено M 308.

7. 1-Ацетил-2-метил-9(*I*H)-пиразоло[5,1-*b*]изохинолон (IV). 100 мг дикацетильного производного (Vb) и 1,5 мл Ac_2O нагревали в запаянной ампуле 8 ч при 200°, затем упаривали и хроматографировали в системе ЭА—Б (1:8). Из зоны с R_f 0,4—0,5 выделяли 10 мг (11%) ангидросоединения (IV); УФ: $\lambda_{\text{макс}}$ 225п, 246, 254, 290п, 307п, 322, 337 нм ($\lg \epsilon$ 4,23; 4,51; 4,57; 3,76; 3,55; 3,64; 3,68); ИК: $\nu_{\text{макс}}$ 1760, 1650, 1570 см⁻¹; ЯМР: δ 2,37 (3Н, с); 2,71 (3Н, с); 6,84 (1Н, с); 6,95 (1Н, с); 7,0—7,75 (3Н, м); 8,01 (1Н, дд, *J*₆ и 3).

Найдено M 240. $C_{14}H_{12}N_2O_2$. Вычислено M 240.

8. 7-Метокси-3-(1'-нитроэтил)-фталид (VIIIa). К 2,20 г гидрата метоксиальдегидофталевой кислоты (VII) [6] и 1,65 г пироэтана в 6 мл воды при 0—2° прибавляли 2,4 мл 14 н. NaOH, перемешивали 3 ч при 0° и 15 ч при 10°, затем разбавляли 15 мл спирта и оставляли еще на 48 ч при 10°. После нейтрализации 50%-ной H_2SO_4 отгоняли спирт, подкисляли до рН 2, экстрагировали этилацетатом и хроматографировали на колонке с 500 мл силикагеля, элюируя сначала хлороформом, а затем смесью X—А (10:1). Из второго элюата выделяли 290 мг (13%) исходной кислоты (VII), R_f 0,54 (силуфол, Б—А, 3:1), а из хлороформного элюата получали нитроэтилфталид (VIIIa), выход 1,8 г (68%); т. пл. 150—151° (из эфира); R_f 0,78 (силуфол, Б—А, 3:1); УФ: $\lambda_{\text{макс}}$ 233, 296, 330 нм ($\lg \epsilon$ 3,89; 3,57; 2,70); ИК: $\nu_{\text{макс}}$ (пуйол) 1770, 1615, 1560 см⁻¹; ЯМР: δ 1,78 (3Н, д, *J*7,5); 3,95 (3Н, с); 5,30 (1Н, м); 5,75 (1Н, д, *J*2,8); 7,12—7,67 (3Н, м).

Найдено, %: С 55,6; Н 4,5; N 5,8. $C_{11}H_{11}NO_5$. Вычислено, %: С 55,7, Н 4,7; N 5,9.

9. 8-Метокси-3-метил-4-окси-3,4-дигидро-1(2Н)-изохинолон (IX).

475 мг нитроэтилфталида (VIIIa) в 15 мл метанола и 1,5 мл 4 н. HCl гидрировали над 270 мг 25%-ного Pd/C при 20° до прекращения поглощения H_2 . Раствор фильтровали и упаривали, из сухого остатка извлекали эфиrom и этилацетатом 80 мг (17%) исходного пироэтилфталида (VIIIa), а кристаллический осадок хлоргидрата аминоэтилфталида (VIIIb) без дальнейшей очистки растворяли в 2 мл 2 н. NaOH, нагревали 4 ч при кипении и затем экстрагировали хлороформом. Получили оксилактам (IX), выход 290 мг (70%), т. пл. 80—90°, R_f 0,30 (силуфол, ЭА—Б, 1:1); УФ: $\lambda_{\text{макс}}$ 243п, 239п, 300 нм ($\lg \epsilon$ 4,42; 3,75; 3,36); ИК: $\nu_{\text{макс}}$ 3325, 3205, 1662, 1585 см⁻¹.

10. 8-Метокси-3-метил-1(2Н)-изохинолон (Xa). 290 мг оксилактама (IX) и 110 мг TsOH в 6 мл ксиола нагревали 4 ч при кипении и после обычной обработки получали 200 мг (76%) изохинолона (Xa), т. пл. 230—231° (из спирта); R_f 0,55 (А—Б, 1:3); УФ: $\lambda_{\text{макс}}$ 212, 233п, 238, 252, 259, 270, 281, 292, 322, 336, 350 нм ($\lg \epsilon$ 4,38; 4,01; 4,06; 3,88; 3,98; 3,85; 4,04; 4,04; 3,71; 3,84; 3,72); ИК: $\nu_{\text{макс}}$ 3172, 1660, 1568 см⁻¹; ЯМР: δ 2,38 (3Н, с); 3,92 (3Н, с); 6,68 (1Н, с); 7,02 (1Н, д, *J*8); 7,33 (1Н, т, *J*8); 7,95 (1Н, д, *J*8); 10,86 (1Н, шир); δ (*TFA*) 2,67 (3Н, с); 4,10 (3Н, с); 7,42 (1Н, д, *J*8); 7,72 (1Н, т, *J*8); 7,75 (1Н, с); 8,04 (1Н, д, *J*8).

Найдено, %: С 70,1; Н 5,8; N 7,2. M 189. $C_{11}H_{11}NO_2$. Вычислено, %: С 69,8; Н 5,9; N 7,4. M 189.

11. 8-Окси-3-метил-1(2H)-изохинолон (Хб). Раствор 100 мг метоксизохинолона (Ха) в 5 мл 5 н. HBr в 50%-ной AcOH нагревали 2 ч при кипении, упаривали и хроматографировали в системе А—Б (1:3). Из зоны с R_f 0,6—0,7 выделяли 43 мг исходного вещества (Ха), а из зоны с R_f 0,2—0,3 получили 46 мг (49%) окси соединения (Хб), т. пл. 248—250° (из спирта), R_f 0,28 (А—Б, 1:3), УФ: $\lambda_{\text{макс}}$ 240, 261, 282, 293, 328_н, 339, 355 нм ($\lg \epsilon$ 4,09; 3,89; 3,88; 3,89; 3,59; 3,73; 3,61); ИК: $\nu_{\text{макс}}$ 3330, 3320, 3290, 1640, 1615, 1567 см⁻¹; ЯМР: δ (d_6 -DMSO) 2,26 (3Н, с); 6,51 (1Н, с); 7,08 (1Н, дд, J 8 и 2); 7,23 (1Н, дд, J 8 и 7,5); 7,63 (1Н, дд, J 7,5 и 2); 10,07 (1Н, с); 11,23 (1Н, с).

Найдено M 175. $C_{10}H_9NO_2$. Вычислено M 175.

12. 8-Метокси-2,3-диметил-1(2H)-изохинолон (Хв). Раствор 40 мг изохинолона (Ха) в 5 мл 0,05 M EtONa и 1 мл MeI нагревали 7 ч при кипении, прибавляя через каждый 1 ч по 0,25 мл 1 M EtONa, затем обрабатывали обычным способом и хроматографировали в системе А—Б (1:4). Из зоны с R_f 0,6—0,7 выделяли N-метильное производное (Хв), которое возгоняли при 120°/0,07 мм; выход 38 мг (89%), т. пл. 139—140°; УФ: $\lambda_{\text{макс}}$ 213, 239, 252, 261, 278_н, 285, 296, 325_н, 337, 352 нм ($\lg \epsilon$ 4,57; 4,11; 3,86; 3,93; 3,89; 4,11; 4,11; 3,79; 3,91; 3,78); ИК: $\nu_{\text{макс}}$ 1647, 1620, 1597, 1569 см⁻¹; ЯМР: δ 2,41 (3Н, с); 3,60 (3Н, с); 3,91 (3Н, с); 6,73 (1Н, с); 6,99 (1Н, д, J 8); 7,33 (1Н, дд, J 8 и 7,5); 7,97 (1Н, д, J 7,5); ЯМР: δ (TFA) 2,80 (3Н, с); 4,11 (3Н, с); 4,15 (3Н, с); 7,44 (1Н, д, J 8); 7,79 (1Н, дд, J 8 и 7,5); 7,98 (1Н, с); 8,03 (1Н, д, J 7,5).

ЛИТЕРАТУРА

- Гуревич А. И., Карапетян М. Г., Колосов М. Н., Оноприенко В. В., Петренко Г. И., Червин И. И., Яковлев Г. И. (1975) Биоорганическая химия, 1, 91—96.
- Fr. 1573723 (1970) С. А., 72, 111059.
- Ungnade H. E., Nigtingale D. V., French H. E. (1945) J. Org. Chem., 10, 533—536.
- Болдырева Е. Ф., Гладкова Л. Н., Гуревич А. И., Карапетян М. Г., Колосов М. Н., Омельченко В. Н., Оноприенко В. В., Петренко Г. И., Червин И. И., Яковлев Г. И. (1975) Биоорганическая химия, 1, 77—84.
- Gabriel S., Neumann A. (1892) Ber., 25, 3563—3572.
- Blair J., Brown J. J., Newbed G. T. (1955) J. Chem. Soc., 708—712.

Поступила в редакцию *
10.VII.1974

CHEMISTRY OF ALBOFUNGIN.

VIII. THE SYNTHESIS OF ANALOGS OF THE A AND B RINGS OF ALBOFUNGIN

GUREVICH A. I., KOLOSOV M. N., OMELCHENKO V. N.,
ONOPRIENKO V. V., PETRENKO G. I.

M. M. Shemyakin Institute of Bioorganic Chemistry,
Academy of Sciences of the USSR, Moscow,

Two analogs, (Va) and (Хб), of the albofugin rings A and B have been synthesized and their chemical and spectral properties investigated. The data obtained support earlier conclusion as to the structure of these rings in the antibiotic.

* Статья из портфеля редакции журнала «Химия природных соединений», дата поступления — 30.III.1973 г.